Nicolapsen L. O. Graphic interpretation of discordant age measurements on metamorphic rocks. Ann. N 4. Acad Sci»; 1961, 91, art. 2, p. 198-206

19 Pallister J. S., Stacey J. S., Fesher L. B. and Prema W R Precambrian ophiolites of Arabia. Geologic. settings. U- Pb geochronology Pb—isotope characteristics and implications for continental accretion Precambrian Research, v 38, 1988, p. 1—54

20. Stern R. J., Hedge C. E. Geochronologic and isotopic constraints on late Precambrian crustal evolution in the Eastern Desert. of Egypt; Am. Journ. of Science, v. 285, 1985, p. 97—127..

21. Sylvester P. J. Post-collisional alkaline cranites. Journ of Geology, v. 97, N 3, 1989

22. Sultan M., Chamberlain K. R., Browing S. A., Arvidson R. E. Geochronologic and isotopic evidence for involvement of Pre-Pan-African crust in the Nubian shield, Egypt. Geology, v. 18, august 1990

23. York D. Least-squares-friting of a straight Line «Can. J. Phys », 1966, 44, n. s.,

p. 1079—1086

Нзвестия НАН РА. Науки о Земле, 1993, XLVI, № 1, 22—32

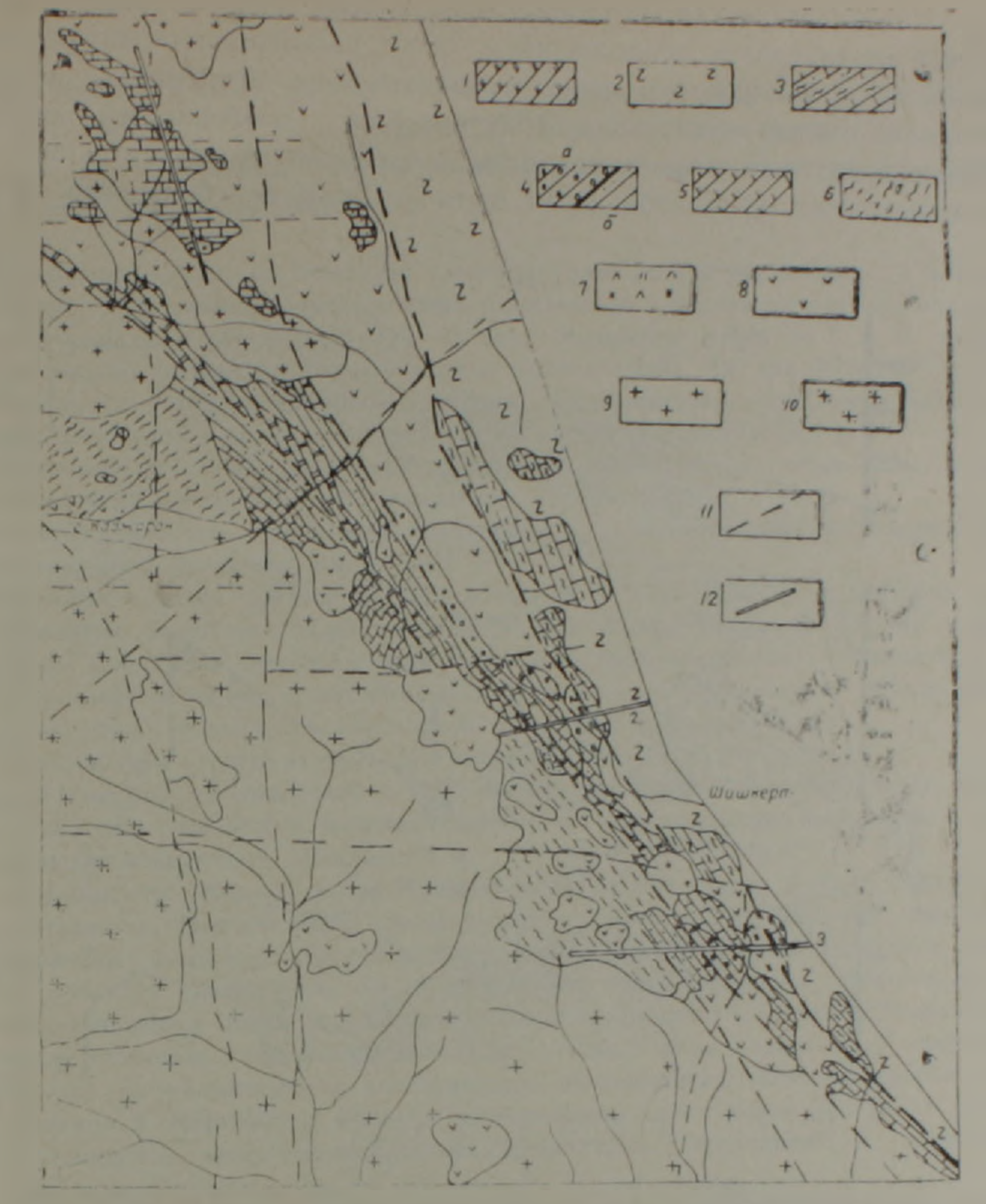
М. А. САТИАН, Р. Н. ТАЯН, Ж. О. СТЕПАНЯН, А. С. ПАПОЯН

# ВЕРХНЕМЕЛОВАЯ ОБЛОМОЧНАЯ ТОЛІЦА МЕГРИНСКОГО АНТИКЛИНОРИЯ И ПАЛЕОГЕОЛОГИЧЕСКИЕ РЕКОНСТРУКЦИИ

В сложных тектонически нарушенных разрезах обломочной толщи восточного крыла Мегринского антиклинория, наряду с гранитоидным, выявлены офиолито-кластический материал, обломки известняков с кораллами валанжина—раннего баррема. Возраст толщи определяется турон (?)—раннесенонским. Обсуждены особенности строения толщи в надвигово-чешуйчатой структуре и вопросы палеогеологических реконструкций.

Развитая вдоль восточного крыла Мегринского антиклинория узкая н прерывистая полоса выходов раннесенонских полимиктовых отложений включающих, как выясняется, и офиолитокластику, и обломки гранитондов, ранее относилась к палеозойскому разрезу [4]. Выявлением тектонических ее соотношений с вышележащими верхнепалеозойскими кварцитами и известняками и, в особенности, находками в ее составе известняков с остатками водорослей баррема установлена ее принадлежность к позднемезозойскому разрезу [2]. Последующие находки офиолитокластики и изучение обломков гранитоидов были одной из предпосылок обоснования в регнональной структуре Зангезурской офиолитовой зоны [1] и обсуждения проблемы допалеогено вого гранитондного магматизма Мегринского антиклинория [8]. Вместе с тем подробного обсуждения особенностей строения обломочной толщи пока не состоялось, так же как остался вне обсуждения вопросов палеогеологических реконструкций времени ее формирования.

Протяженность выходов толщи составляет не менее 80 км от долины Аракса на юге до верховьев левых притоков р. Гехи и далее к северу, в районе Сваранца (рис. 1), структурным бурением вскрыта



Рис, 1. Схематическая геологическая карта Зангезурской шовной зоны. (Основа—геологическая карта Зангезурского рудного района м-ба 1:50000. авторы К А. Карамян, Р Т Джрбашян. О П. Гуюмджян. Р. Н. Таяж, 1974г.).

Условные обозначения.

1. Известняки крупнослонстые и массивные, органогенные и органогенно-детритовые, с пачками кварцитов и линзами битуминозных глинистых сланцев. Поздний девон-пермь. 2. Потоки и субвулканические тела андезитов, андезито-базальгов, реже вулканические брекчин Поздняч юра неоком. 3. Известняки средне-тонкослонстые, мелкозернисто-шламовые и органогенные. Неоком. 4 а) Пренмущественно полимиктовые конгломераты с прослоями песчаников алевролитов, песчанистых известняков; б) Преимущественно тонкослоистые алевролиты, песчаники, реже конгломераты Поздний турон-коньякский ярус. 5. Известняки среднетонкослоистые микритовые, реже с примесью фораминифер, в основания пачки известковые туффиты и алеврелиты Сантон-верхний сенон, б. Ритмичные чередования туфовлевролитов, туфопесчаников, туфопелитов. Средний эоцен. 7. Преимущественно субвулканические тела, реже потоки кварцевых риолитов, андезито-дацитов Апт-ранний турон 8 Сулвулканические теля, реже потоки апдезитов, андезито-базальтов (капут джухская свита) Средини поздини эоцен. 9. Интрузным габбро-монцонит-сиепитовой и монцоднорит-грано\_порит-граносиенитовой формации Верхний эоцен 10 Интрузивы гранит-гранидиоритовой формации Ранний мноцен.

офиолитокластическая позднемеловая толща, скорее всего являющаяся ее северным продолжением. Опыт регионального картирования приводит к выводу, что офиолитокластические отложения надофиолитового чехла одна из характернейших особенностей строения офиолитовых зон. Офиолитокласты маркируют ее простирание, хотя выходы самих офиолитов могут быть редкими и небольшими в этом

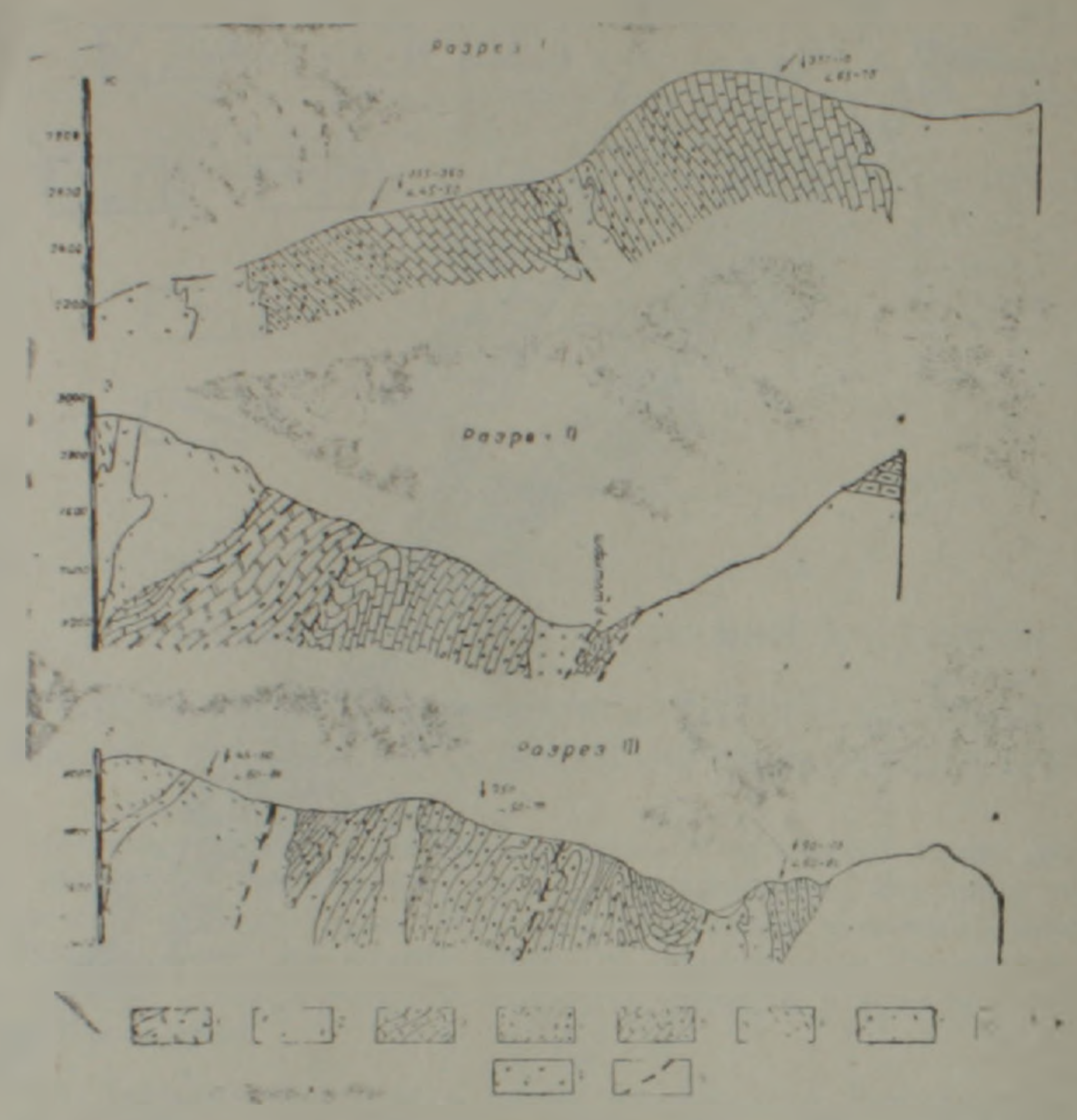


Рис. 2. Опорные разрезы Зангезурской шовной зоны Наименование разрезов: 1. Верховье р. Дармазур. 2. Правый склон р Шишкерт, в 2 км с-з с. Шишкерт. 3. Восточное окончание Мегринского хребта. Условные обозначения см. рис. 1.

особенность строения так называемых «слепых» офнолитовых зон [6]. Составление разрезов обломочной толщи в нескольких поперечных пересечениях (рис. 2) позволило обособить, по крайней мере, на типа разрезов, наиболее полиме из них выделяются вблизи офнолитового шва. Они интенсивно тектонизированы в виде ряда чещуй вследствие развития самого офиолитового шва на постофиолитовом этапе. Сущность этого процесса сводится к возникновению разновозрастных встречных надвигов [6]. Кратко мы его коснемся и далее. Второй тип разрезов пранадлежит зонам, несколько удаленным от офиолитового шва и вовлеченным в ноля развития многочисленных коровых деструкций палеогенового этапа и магматизма. Картируются лишь какие-то фрагменты разреза толщи, разобщенного гипабиссальными телами базальтондов среднего эоцена [3].

## Разрез I гипа

Наиболее полный разрез наблюдается по правому склону р. Шишкерт в 2 км с-з с. Шишкерт (рис. 2). Выше выходов кварцевых риолитов в тектонических с ними соотношениях выступают породы песчано-конгломератовой толщи.

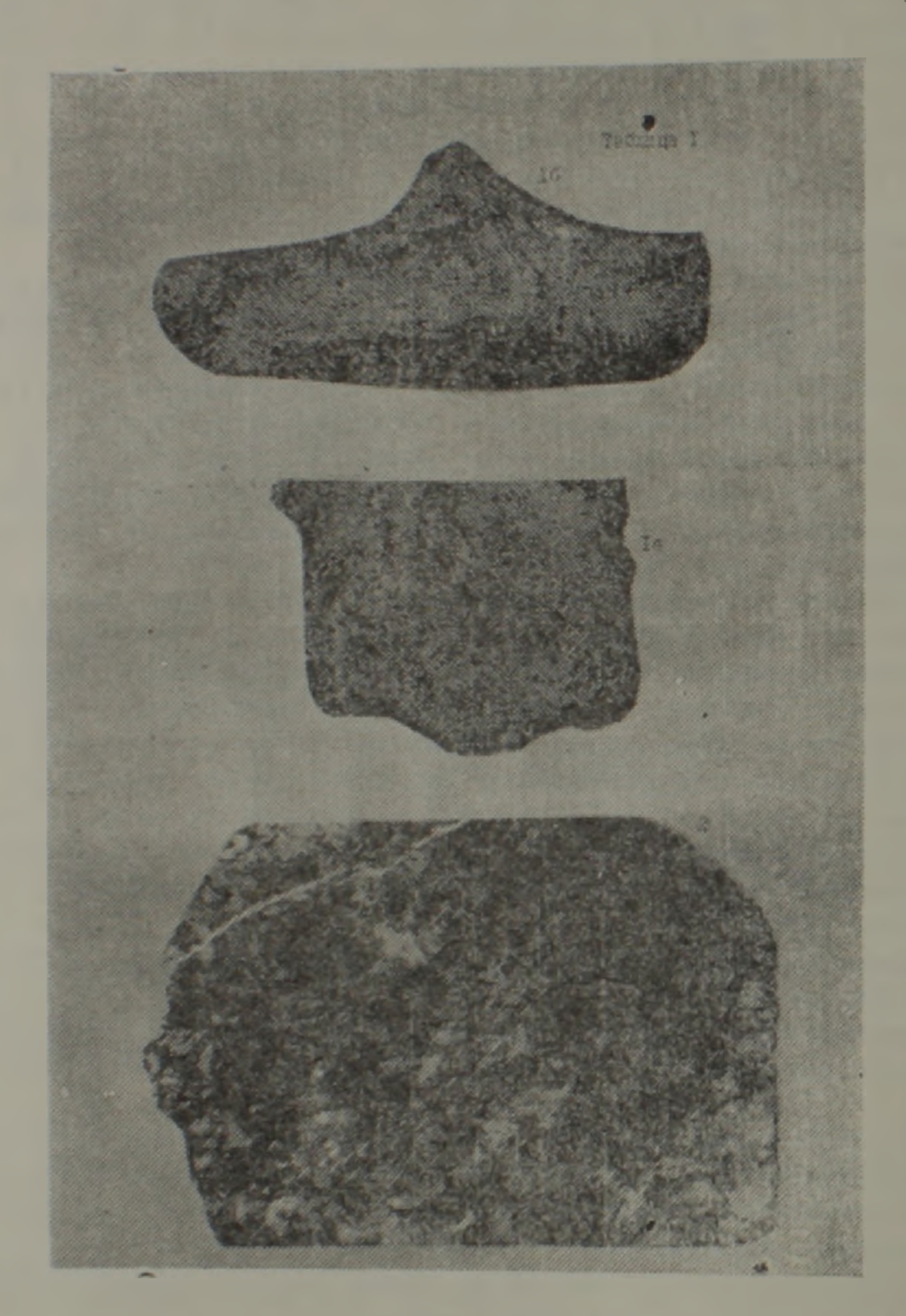
- 1. Чередование серых, не отчетливо слоистых гравелитов с песчаниками и алевро литами, аргиллитами и песчанистыми известияками. В ритмопачках преобладают слои песчаных известняков (15—25 см). Мощность пачки до 5 м В верхах ритмопачки появляются охристо-зеленые туфосилициты Аз пад. ЮЗ 260 ≤25°
- 2 Известняки серые, мелко-микрозернистые, чередующиеся с прослоями известко вых песчаников с примесью гравийного материала Мощность 7м
- 3. Конгломераты серые, средне-крупнослонстые, слонстость не отчетливая мелкообломочные, чередующиеся с гравелитами. Мощность бм.
- 4 Песчапистые серые известняки, чередующиеся с зеленоватыми микрозернистыми известняками. Мощность Зм.
- 5 Чередование пачек гравелитов серо-зеленоватых (10—20см) и микритовых зеленоватых рассланцованных известияков (25—35см). Вверх по разрезу микритовые известияки сменяются тонкослоистыми туфосилицитами. Мощность 8 м.
- 6. Конгломераты серые, мелкогалечные и гравелиты, содержащие в кровле пачки зелено-серых песчанистых известияков (0,3—0,5м). Мощность 3 м
- 7. Туфосилициты охристо-зеленые, тонкослоистые Мощность 2,5 м
- 8. Конгломераты мелкогалечные и гравелиты полимиктовые, зеленовато-серые (1,5—1,7 м), чередующиеся с пачками (0,5—0,7м) известковистых песчаников и песчанистых известняков. Мощность 4 м.
- 9 Конгломераты среднегалечные (размер галек 2—5см, чаще 2—3см), умеренной окатанности. Цемент (30%) псаммитово-гравийный с карбонатной примесью. Включают пропластки песчаных известняков. Среди галечного материала немало обломков гранитондов, серых известняков кристаллических, габбро и вулканических пород. Выше по разрезу пачки конгломератов сменяются гравелитами более отчетливо среднеслоистыми (1,5м), затем вновь происходит огрубение состава до мелкогалечных конгломератов, сменяющихся вверх по разрезу гравелитами и песчаниками (0,2м) и песчанистыми известняками. Мощность до 6м.
- 10. Конгломераты мелко-среднегалечные, зелено-серые, переходящие в известняки гравийные. Мощность 3,5м.
- 11. Гравелиты крупно-среднеслоистые с пропластками гравийных известняков Мощность 2 м.
- 12. Конгломераты зелено-серые, массивные, среднегалечные с пропластками мелкогалечных конгломератов и редкими линзами песчаных известняков Мощность 15 м.
- 13. Конгломераты мелкогалечные, сменяющиеся вверх по разрезу гравийными песчаниками, песчаниками и песчанистыми известняками Мощность 9 м
- 14. Тонкослоистые серые известняки, чередующиеся в основании с песчанистыми известняками и мелкогалечными конгломератами. Мощность 15 м

Суммарная мощность толщи 52 м. Выше следует маркирующая пачка плитчатых известняков позднего сенона.

Итак, для конгломератово-песчаной толщи характерны неравномерное и нечеткое ритмичное наслоение, полимиктовый состав обломочного материала, присутствие обломков и гранитондов и пород офиолитовой ассоциации, и кристаллических известняков. Среди обломков известняков найдены остатки кораллов (табл. 1): Eugyra cf. interrupte From. (готерив). Fungiastraea tendagurensis (Dietrich) (готеривранчий баррем). Microphyllia aff guttata (Koby) (валаижин-готерив), Microsolena crassisepta Sikharulidze (готерив), указывающие в целом на валанжин-раннебарремский возраст галек известняков и являющиеся характерными видами для Средиземноморского геосинклинального пояса (Крыма, Большого и Малого Кавказа, Туркмении и др.) [5].

По направлению к северу в разрезе обломочной толщи отмечены латеральные изменения. В разрезе по ущелью р. Спитак-джур в составе конгломератово-песчаной толщи, мощностью до 60 м, отмечены в значительном количестве гальки и валуны гранитондов [8].

Над этой толщей следуют туффиты известковые, тонкообломоч-



Фиг. 1. Microsolena crassisepta Sikharulidze, Обр. 62. апоперечное сечение (x2,5), 6 продольное сечение (x2). Фиг. 2. Funglastraea tendagurensis (Dietrich), Обр. 61. Поперечное сечение (x2).

ные, пересланвающиеся с микрозернистыми известняками. Цвет пород пачки серый, темпо-серый. Мощность 18 м. Эти отложения условно относятся к раннему сантону. Микрофауна турон-коньякского возраста установлена в аналогичных отложениях Вохчинского разреза[7].

Выше по склону тектопическим нарушением отложения верхнего мела приведены в контакт с разрезом палеозоя. Продолжение разреза выше пластины позднепалеозойских известняков следующее: 26

Туффиты известковые, тонкообломочные, слоящиеся с известняками микрозериистыми. Мощность 13 м.

Пачка чередования конгломератов, валунно-галечных накоплений, гравелитов и песчаников (или алевролитов). Мощность 17 м

Конгломераты среднегалечные с пропластками мелкогалечных и с линзой микрозернистого известняка. Мощность 12 м

Выше налегают известняки верхнего сепона-шламово-микрозернистые, серые, зеленовато-серые, тонко-среднеслоистые. Мощность 80 M.

Известияки верхнего сенопа несогласно перекрываются вулканогенным средним эоценом.

# Разрезы II типа

В верховье правого притока р. Дармазур к юго-востоку, от перевальной части, начиная от водораздела, выступают порфириты эоцена. Ниже по склону развита мощная толща конгломератов, песчаников и пачек известняков верхнего мела, выходы ее протягиваются более чем на 350 м и ниже по склону вновь прерываются субвулканическими порфиритами палеогена. На всем интервале верхнемеловые отложения имеют преимущественно азимуты падения 355-10, < 10--60°, приобретая более крутые углы падения и несколько иные простирания на участках, где их прорывают мелкие тела субвулканических порфиритов [3].

Вверх по склону, от нижних к более верхним горизонтам (рис. 2), обнажаются: нижняя—конгломератово-песчаная и верхняя—нзвестняковая толщи, изоклинально смятые совместно и имеющие общее падение на С-СЗ и стратиграфические между собой контакты.

- 1. Чередование пачек конгломератово-песчаного состава мощностью до 5-7 м, в каждой из которых наблюдается следующая последовательность: темно-серые и буроватые конгломераты, полимиктовые, разнообломочные, при преобладания среднеобломочных разностей (1.0-2,5 м); гравелиты и грубо-крупнозернисты тесчаники, переходящие выше в мелкозернистые песчаники и алевролиты (1-2) В составе конгломератов нередки буро-красноватые обломки яшм и кремнистых туффитов. Общая мощность около 40-50 м.
- 2. Чередование пачек конгломератово-песчаного состава Ритмично построенная каждая пачка конгломератов и песчаников завершается 1,5 и слоем темно-зеленых и цвета хаки глинистых алевролитов с прослоями содержащих радиолярии зеленых кремнисто-глинистых пород. Мощность этого слоя алевролитов и силицитов не превышает 1,5 и. Суммарная мощность до 20 м.
- 3. Ритмично чередующиеся полимиктовые конгломераты, песчаники, алевролиты, аналогичные пачке 1 В верхней части мощность слоев песчаников и алевролитов заметно возрастает С признаками несогласия на них налегают розовые микрозеринстые известняки с обильными остатками верхнессионской микрофауны Мощность достигает 50-60 м

Выше следуют микрозернистые известняки верхнего сенона, розоватые в нижней части и светло-серые выше по разрезу, местами с внутрислонными стяжениями серого кремня Порода трещиноватая, оскольчатая В известияках определена Стовоtruncana tuna linelana Orbigny, G. типа lapparenti Brotzen. Pra globotrun ara ипа plummerae Gaudolfi?, подтверждающие сенонский возраст толщи.

Фаупистические данные по этим карбонатным отложениям на южном склоне Баргушатского хребта (аксакальская толща) были получены О П. Гуюмджяном (1963, 1964) Г. Б. Межлумяном (1962) был показан верхнемеловой возраст аналогичных известияков верхнего течения р Кахурт.

Очевидно, истинную суммарную мощность этой фрагментированной толщи определить невозможно. Корреляция с прочими доверхнесенонскими обломочными тол-

щами других частей Анкаван-Мегринской тектонической зоны Малого Кавказа дает цифры порядка 100—200 м.

Возраст обломочной толщи по корреляции с фаунистически датированными разрезами басс. р. Аргичи и Цахкуняцкого массива указанной тектонической зоны, скорее всего, позднетуронский-раннесайной [6]. Подтверждением являются и парагенезы пород, и типичные переходы вверх по разрезу в алевро-псаммитовые известковистые туффиты, и тонкообломочные накопления, чередующиеся со слоями мелкозеринстых органогенно-обломочных известняков. Наконец, важны конкретные данные о том, что обломочная толща включает обломы известняков с остатками кораллов валанжин-раннего баррема, а также туфов и туффитов, сходных с таковыми апт-раннетуронской толщи данной полосы [6]. Эти данные также указывают на пределы ее накопления от позднего турона до раннего сантона включительно.

В формационном отношении она относится к граувакковой формации окраинных частей офиолитовых зон на стыке с обрамлением [6].

## Главные типы пород обломочной толщи

Конгломераты и гравелиты-крупнослонстые породы сероватозеленого цвета, иногда пестроцветные за счет присутствия галек кремнистых пород. Размеры галек и обломков варьируют от 1-2 до 10-—20 см, форма, как правило, полуокатанная, сортировка низкая. Выделяются разновидности конгломератов и гравелитов: 1) полимиктовая с малой примесью офиолитокластического материала или без него и 2) офиолитокластическая. В полимиктовых разновидностях породообразующими являются обломки полнокристаллических пород: роговообманковых и роговообманково-биотитовых тоналитов [8], базальтов, днабазов, спилитов, андезито-базальтов, андезитов, кератофиров. Структура базальтондов афировая, порфировая, вариолитовая, нередко гиалиновая, обычна мандельштейновая текстура. Спилиты, днабазы и кератофиры альбитизированы, хлоритизированы, карбонатизированы, окварцованы. Встречаются также липариты с флюндальной текстурой и соссюритизированными вкрапленниками плагноклаза. Их аналоги известны в строении окузаратской свиты (апт). Широко представлены обломки туфов, туффитов-от псаммитовых до пелитовых. Среди обломков осадочных пород определены разнозернистые песчапики и алевролиты, преимущественно кварц-плагноклазовые, с тонкослонстой текстурой. Много галек известияков, в большинстве случаев шламово-микрозернистых, кроме того обломочных и перекристаллизованных, органогенно-обломочных. В последних видны остатки мшанок, водорослей, криноидей, фораминифер и др. Подчиненное значение среди обломков имеют радиоляриты. Постоянно, но в небольших количествах присутствуют зерна плагиоклаза, кварца, оливина, замещенного иддингсит-лимонитовой смесью, диаллага.

Цемент конгломератов и гравелитов порово-контактовый, не обильный, образован карбонатом, либо хлорит-цеолит-карбонатом, участками глинисто-карбонатный.

В собственно офиолитокластических конгломератах гальки сложены почти нацело вулканическими породами: базальтами с черной стекловатой и интерсертальной основной массой, днабазами с микро-

долеритивой основной массой, андезито-базальтами, спилитами, часто миндалекаменными, со спилитовой или пилотакситовой структурой основной массы, кератофирами. Реже среди обломков отмечаются гналокластиты, известняки. В некоторых разрезах встречены многочисленные обломки радиоляритов. Найдены единичные обломки серпентинизированных ультрабазитов. Как примесь встречены обломки кварца, плагноклаза. Цемент порово-контактовый, карбонатный. Часто наблюдаются конформные структуры. Яшмы имеют характерную буро-красную окраску, раковистый излом, состоят под микроскопом из микрокристаллического халцедон-кварцевого агрегата и тонкораспыленного тематита, в переменном количестве содержат раковины радиолярий, иногда являющиеся породообразующим компонентом.

В тяжелой фракции песчаннков (выход от 0,05 до 2,0%) наиболее распространены (иногда более 50%) магнетит, гематит, гидроокислы железа. Обычен хромит, в исключительных случаях его содержание превышает 50% от тяжелой фракции. Содержание амфиболов (актинолит, тремолит) варьирует от ед. знаков до 21%, а эпидота, цоизита, и клиноцоизита—от 0 до 30%. Пикотит, коруид, монацит, встречаются редко (0,5—1,5%). Циркон весьма обычен (0,3—2,0%).

Главные компоненты легкой фракции—разложенные и полуразложенные зерна, плагиоклазы и вулканическое стекло. Подчиненное значение имеет кварц.

Кремнистые алевро-пелитовые туффиты. Слагают маркирующую пачку, в средней части разреза толщи серовато-зеленые, охристозеленые, с криптокристаллической или тонкокристаллической структурой и пятнистой текстурой. Сложены они тонкозернистым агрегатом кварца и халцедона, включающим остатки кремневых организмов. В отличне от яшм (обломки в составе конгломератов) кремнистые аргиллиты включают не только радиолярии, но в меньшем количестве и спикулы губок, изредка диатомеи. Раковины полурастворены и едва выделяются на общем фоне породы. Радиолярии сферической, а иногда уплощенной формы. Нередко породы брекчированы с цементацией полостей карбонатным матерналом. Основная масса породы пропитана очень неравномерно карбонатом кальция, пронизана мельчайшей сеткой трещин, выполненных кварцем и в меньшей мере-кварцем или халцедоном, более крупнокристаллическим, по сравнению с основной массой. Изредка отмечаются спикулы кремневых губок. Иногда наблюдается тонкая слоистость, связанная с послойным расположением остатков радиолярий или скоплений гематита. Нередко яшмы обладают брекчиевой текстурой. Обломки цементируются хлорит-альбит-кварцевой массой или перекристаллизованным кварцем в сочетании с карбонатом. Передки яшмы с повышенным содержанием глинистого компонента, развивающегося скорее по пепловому материалу, беспорядочно рассеянного в массе породы, и с редкими остатками полурастворившихся раковии радиолярий.

Граувакки слагают верхние элементы ритмов в конгломератовонесчаных пачках. С подстилающими их гравелитами границы нечеткие. Наряду со среднеслоистыми средне—и крупнозернистыми песчаниками встречаются тонкослоистые, плитчатые разности, обычно мелкозернистые. Довольно хорошо отсортированы, окатанность кластического материала средняя и хорошая. Основными компонентами 29 в них служат зерна плагноклазов и кварца, обломки различных пород (от 20 до 60%), среди которых преобладают кератофиры, диабазы, спилиты, андезито-базальты, андезиты, встречаются обломки креминстых пород, туфов, туффитов, филлитов, иногда гранитондов и вулканического стекла; характерно присутствие амфиболов (группа актиполита-тремолита). Цемент песчаников порового или поровоконтактового, редко базального типа, карбонатного состава, изредка образован хлоритом, либо гематитом с гидроокислами железа. Карбопат почти всегда перекристаллизован, нередко в нем наблюдаются остатки органики. Глинистое вещество развивается по вулканокластическому, обычно стекловатому матерналу алевро-пелитовой размерности. Содержание его достигает 5-7%. Часть его является пирокластическон-в шлифах отчетливо это диагностируется. По-видимому, в связи с этим содержание кристаллического кремнезема в породе инзкое, не более 50-60% SiO2. Большая часть остатка приходится на глинозем и СаО.

Перейдем к некоторым выводам.

Обломочная толща имеет стратиграфический контакт с верхнесенонскои толщен микритовых известняков и по возрасту может быть отнесена к позднетурон-раннесенонским образованиям. Для ее строения характерны признаки грубон флишондности, наличие маркирующего горизонта креминстых пелитовых туффитов (в середине разреза), полимиктовость контрастного типа состава обломочного матернала-сонахождение офиолитокластического матернала с гранитоидным. Резкие изменения состава обломочного материала по простиранию обломочной голщи при преобладании слабо отсортированных грубообломочных накоплений могут рассматриваться, наряду с прочими структурно-текстурными особенностями, как признаки быстрого захоронения в мелководном бассейне и локальных связей их с областями размыва. Контрастная полимиктовость позволяет воссоздать главные области сноса-допалеогеновые гранитонды, выступавшие в палеорельефе в центральной части Мегринского антиклинория [8], далее к востоку-офиолитовые поднятия, возникшие при компрессии офиолитового трога (Зангезурского). Поднятия пород офиолитови ассоциации, видимо, не включали крупных ульграбазитовых тел, мощных толщ радиоляритов, для них были показательны щелочные базальтонды и продукты дифференциации-кератофиры. Все это согласуется с представлениями о специфическом составе офиолитовой ассоциации Зашгезурской офнолитовой зоны [1, 6]. В размыв включались прочие мелководные осадки, в том числе коралловые известняки краев поднятий. Обломочная толща вовлечена в надвигово-чешуйчатые постофиолитовые структуры, время формирования которых определяется их протыканием экструзивами среднего эоцена, начало же относится к постпалеоцену. Следствием крупных их перемещений является динамометаморфизм, наложенный вдоль Вохчинского близширотного разлома и в особенности Шишкерт-Кирской структуры, а также в основании некоторых других чешуй. Отмечены также более поздние гидротермальные изменения на участках вблизи контактов с лалеоген-миоценовым Мегринским батолитом. Эти изменения наложены на региональный фон изменений пород-на уровне начального эпигенеза, местами с переходом к глубинному эпнгенезу. Обломочные толщи-важный

маркирующий горизонт для картпрования сложнодислоцированных толщ верхнего мела, участвующих в строении указанных надвиговочешуйчатых структур. При этом отметим их разноплановость: к югу от басс. р. Вохчи близмеридионального (с-сз), к северу—существенно близширотного простирания. Формирование этой структуры было многоэтапным, связанным с раскрытнем и закрытием офиолитового грога, затем новым этапом дислокаций в раннем эоцене, вызванным сдвиговыми деформациями. Очевидно вовлечение в надвиговочешуйчатую структуру и пород палеозойского субстрата, что особенно значительно проявилось в надразломных поперечных прогибах (басс. р. Гехи). Вопросы эти заслуживают особого обсуждения.

Институт геологических наук НАН Республики Армения,

Поступила 17 1Х 1990

### ЛИТЕРАТУРА

- 1. Асланян А. Т., Сатиан М. А. Зангезурский офиолитовый пояс Малого Кавказа ДАН АН АрмССР, 1977, т. LX, № 4, с.220—226.
- 2. Белов А А К истории тектонического развития северной окраины Иранской эпибайкальской субплатформы Малого Кавказа — Изв АН АрмССР сер геол 1968. № 10. с.121—129.
- 3. Гуюмджян О. П О соотношении вулканогенных и осадочных образований в псев до вулканогенно-осадочных» формациях Баргушатского хребта (Армянская ССР) —Изв. АН АрмССР. Науки о Земле. 1968, № 5, с.31—39
- 4. Мкртчян С. С. Зангезурская рудоносная область. Ереван Изд АН АрмССР, 1956 287 с.
- 5 Папоян А. С. Биостратиграфический обзор отложений верхней юры-нижнего мела Кафанского антиклинория по коралловой фауне Изв АН АрмССР. Науки о Земле, 1989, № 2, с.3—9.
- 6. Сатиан М. А. Позднемеловой литогенез офиолитовых зон Армянской ССР (Малый Кавказ), Ереван: Изд. АН АрмССР, 1979, 189 с.
- 7. Таян Р. Н. Мартиросян Ю. А. О выявлении верхнемеловых отложений в ядре Бахаджухской горст-антиклинальной структуры—Изв. АН АрмССР, Науки о Земле, 1977, № 2, с.98.
- 8. Таян Р. Н., Сатиан М. А., Джрбашян Р. Т. О киммерийском магматизме Мегринского антиклинория.—Изв. АН АрмССР. Науки о Земле, № 4, 1993. с. 13—23

Մ. Ա. ՍԱԲԻԱՆ, Ռ. Ն. ՏԱՅԱՆ, Ժ. Հ. ՍՏԵՓԱՆՅԱՆ, Ա. Ս. ՊԱՊՈՅԱՆ

# ՄԵՂՐՈՒ ԱՆՏԻԿԼԻՆՈՐԻՈՒՄԻ ՎԵՐԻՆ ԿԱՎՃԻ ՀԱՍՏՎԱԾՔԻ ԲԵԿՈՐԱՅԻՆ ԱՊԱՐՆԵՐԸ ԵՎ ՀՆԷԱԵՐԿՐԱՐԱՆԱԿԱՆ ՎԵՐԱԿԱՆԳՆՈՒՄԸ

# Udhndinid

Մեղրու անտիկլինորիումի արևելյան քինի բեկորային հատվածքի բարդ տ<mark>եկտոնական խախտված կտրվածքներում, գրանիտոիդների,</mark> կրաքարերի բեկորներում վալանժին-բարեմի հասակի կորալների հետ մեկտեղ, հայտնարերվել է օֆիոլիտակլաստիկ նյութ։

Հաստվածքի հասակը որոշված է որպես տուրոն (')—վաղսենոնյան։ Հաստվածքի կառուցվածքի համար բնորոշ է գրանիտոիղների հետ համատեղ օֆիոլիտակլաստիկ նլունի առկայունյունը (կոպիտ ֆլիշոիդայնունյուն, կայծքարա-կավային տուֆիտների բնորոշիչ հորիղոնի առկայունյունը, բեկորային նյունի կազմի պոլիմիկտային կոնտրաստ տիպը)։ Զանազան կառուցվածքա-կազմվածքային առանձնահատկունյունների հետ համատեղ իրականացվում են արագ նաղումը ծանծաղ ավաղաններում, ողողա արման մարզերի հետ վերստեղծվում է նրանց լոկալ կապը, մինչպալեոզենյան գրանիտոիդ-

31

ների թերվածքների գլխավոր մարզերի հետ, որոնք դուրս են դալիս Մեղրու անտիկլինորիումի կենտրոնական մասի հին ռելիեֆային ձևերում, կարային զոնաներում-օֆիոլիտային բարձրացումները, որոնք առաջացել են օֆիոլիտային տային տաշտահովտի կոմպրեսիայի ժամանակ (Զանգեզուր), ի վերջո՝ ծայրամասային բարձրացումները, որոնք կազմված են ներկոմի հասակի կորակական կրաքարերով։ Բեկորային հաստվածները ներքաշված են բարդ թեփուկային կառուցվածքներում, ընդգրկելով նաև ուշպալեողյան կան կրաքարային մաստվածների շերտերը։ Նշվում է նաև այս կառուցվածքների բաղմապլանայնությունը Ողչի դետի հարավային ավաղանի բլոկում ունի միջօրեականին մոտ տարածում, իսկ դեպի կուսիս՝ լայնակիին մոտ տարածում։

# M. A. SATIAN, R. N. TAYAN, J. O. STEPANIAN, A. S. PAPOYAN UPPER CPETACEOUS DETRITAL DEPOSIT OF MEGRI ANTICLINORIUM AND PALEOGEOLOGIC RECONSTRUCTION

#### Abstract

It is found out that Turonian—Early Senonian sequences of detrital flysch-like shallow water deposits consist of fragments of Paleozoic and Jurassic and ephiolite serie rocks.

The source rock is connected with rises, formed during Preupper Cretaceos comressional stage of Zangezour ophiolite trough. Detrital deposits are of imbricated structure and involved into the slices formed during Senonian and Paleogene.

Известия НАН РА, Науки о Земле, 1993, XLVI, № 1, 32—38

#### В. Л. АНАНЯН, Э. К. СТЕПАНЯН

# О ВЛИЯНИИ АРМЯНСКОЙ АЭС НА РАДИОАКТИВНОЕ ЗАГРЯЗНЕНИЕ СРЕДЫ

Наблюдения за уровнем радноактивного загрязнения от Армянской АЭС проводилось в сравнении с содержанием и распределением глобальных радионуклидов в исследуемом регионе. Определения суммарной β-активности, содержания <sup>90</sup>Sr, <sup>137</sup>Cs в почвах сельскохозяйственных культурах, поверхностных водах и атмосферных выпадениях показали, что дополнительного радноактивного загрязнения среды за годы работы Армянской АЭС не отмечалось.

Общеизвестно, что производство электроэнергии на атомных электростанциях сопровождается получением большого количества радиоактивных отходов, часть которых неизбежно попадает в окружающую человека среду. Увеличение размеров поступления искусственных радионуклидов в биосфере наряду с существующими запасами их в почвах, накопившимися в результате испытаний ядерного оружия, так называемых глобальных радионуклидов, создает потенциальную опасность превышения допустимых доз излучения для живых организмов.

Наблюдения за уровнем радиоактивного загрязнения, которое происходит как в результате пормальной работы АЭС, так и при аварийных ситуациях, необходимо проводить в сравнении с содержанием и распределением глобальных радионуклидов в исследуемом регионе.